

УДК 621.391.01

## АЛГОРИТМЫ ПОСИМВОЛЬНОГО ПРИЕМА СИГНАЛОВ С РАСШИРЕННЫМ СПЕКТРОМ В МНОГОЛУЧЕВЫХ КАНАЛАХ С ЧАСТОТНО-СЕЛЕКТИВНЫМИ ЗАМИРАНИЯМИ

Л. Е. Назаров<sup>1</sup>, П. В. Шишкин<sup>2</sup>

<sup>1</sup>Фрязинский филиал Института радиотехники и электроники им. В.А.Котельникова  
РАН, г. Фрязино

<sup>2</sup>АО «Информационные спутниковые системы» им. академика М.Ф.Решетнева,  
г. Железногорск

Статья поступила в редакцию 29 января 2016 г.

**Аннотация.** Приведены алгоритмы посимвольного приема сигналов с расширенным частотным спектром в виде базисных функций Уолша-Адамара, используемых при передаче информации по многолучевым каналам с частотно-селективными замираниями. Разработанные алгоритмы посимвольного приема основаны на использовании производительного алгоритма быстрого преобразования Уолша.

**Ключевые слова:** каналы передачи, многолучевость, частотно-селективные замирания, сигналы, посимвольный прием.

**Abstract.** The algorithms of symbol-by-symbol decoding for broad band signals propagated through multiple propagation paths (reflections from ionosphere, etc.) with frequency-selective fading are studied in the article. The base of these algorithms is Fast Hadamard Transformation.

**Key words:** multipath channels, frequency-selective fading, signals, symbol-by-symbol decoding.

### Введение

Выбор эффективных сигнальных конструкций и методов их обработки, обеспечивающих надежную передачу информации, определяются свойствами и характеристиками физических каналов [1]. Базовой моделью является канал с аддитивным белым гауссовским шумом (АБГШ) [2,3]. Для многих физических каналов (каналы ионосферных и тропосферных систем

связи, каналы наземных и спутниковых подвижных систем связи) наряду с АБГШ рассматривается многолучевость распространения сигналов [1-4].

Многолучевость обуславливает фазо-частотные и амплитудно-частотные искажения сигналов на входе приемных устройств и наличие межсимвольной интерференции (МСИ), приводящей к частотно-селективным и частотно-неселективным замираниям (мультипликативные помехи) [2].

Методы организации передачи информации с целью снижения влияния мультипликативных помех характеризуются большей сложностью по сравнению с методами передачи для АБГШ канала. Эти методы основаны на использовании разнесения сигналов (частотное, временное, пространственное); на применении процедур адаптивного выравнивания каналов; на использовании процедур нелинейной обработки сигналов с использованием алгоритма Витерби в сочетании с моделью импульсной характеристики канала; на использовании сигналов с расширенным спектром с разделением парциальных лучей и их когерентного или некогерентного комбинирования [2,3].

Эти методы используются в сочетании со схемами помехоустойчивого кодирования, для наиболее эффективных кодов разработаны алгоритмы с итеративным приемом (турбо-коды, низкоплотностные коды [5], турбо-подобные коды [6]). Данные алгоритмы основаны на использовании процедур посимвольного приема (вычисление “мягких” решений (многозарядные квантованные)) относительно кодовых символов, которые необходимо вычислять с учетом многолучевого распространения сигналов. Это обуславливает актуальность разработки процедур вычисления “мягких” решений при реализации приведенных методов снижения эффективности многолучевости.

В статье приведены алгоритмы посимвольного приема сигналов с расширенным частотным спектром в виде базисных функций Уолша-Адамара, используемых при передаче информации по многолучевым

каналам с частотно-селективными замираниями. Результирующие алгоритмы посимвольного приема основаны на использовании производительного алгоритма быстрого преобразования Уолша (БПУ) [7]. Даны результаты моделирования разработанных алгоритмов посимвольного приема.

### 1. Постановка задачи

Многолучевые каналы описываются импульсной характеристикой  $h(\tau, t)$  или коэффициентом передачи  $\dot{H}(t, f)$  [2]. Для интервала локальной стационарности сигнал  $s_{\text{ВЫХ}}(t)$  на выходе канала для передаваемого сигнала

$$s(t) \text{ задается соотношением } s_{\text{ВЫХ}}(t) = \int_{-\infty}^{\infty} h(\tau) s(t - \tau) d\tau.$$

Интервал времени  $(0, \tau_M)$ , в котором  $h(\tau, t)$  существенно отлична от 0, определяет память канала. Для канала дальней тропосферной связи значение  $\tau_M$  достигает 350...700 мксек [8]. Для канала ионосферной связи при использовании антенн с узкой диаграммой направленности  $\tau_M$  не превышает 1...2 мксек, при использовании антенн с расширенной диаграммой направленности максимальное значение  $\tau_M$  достигает 0.13...1 мсек [9]. Для сотовых систем подвижной связи значения  $\tau_M$  достигают 20 мкс [10].

Для сигналов  $s(t)$  с частотной полосой  $\Delta F$  при условии  $\Delta F \tau_M < 1$  наблюдаются частотно-неселективные замирания [2,3]. В этом случае  $T_c > \tau_M$  и влияние МСИ не учитывается,  $T_c$  - длительность цифровых сигналов.

При условии  $\Delta F \tau_M > 1$  наблюдаются частотно-селективные замирания, в этом случае  $T_c < \tau_M$  и необходимо учитывать влияние МСИ [2].

Модель многолучевого канала с частотно-селективными замираниями представляется дискретной линией задержки с  $N = \Delta F \tau_M$  отводами и сумматором парциальных сигналов  $s(t - \tau_i)$  с взвешивающими коэффициентами  $c_1, \dots, c_N$  с отводов. Время задержки  $\tau_i = i / \Delta F$ ,  $i = 1, 2, \dots, N$ .

Развитию этой модели для каналов передачи со случайными импульсными характеристиками  $h(\tau, t)$  посвящен ряд работ [1-3].

Один из эффективных методов передачи для данного многолучевого канала основан на использовании сигналов  $s(t)$  с расширенным частотным спектром  $\Delta F$ , на выделении парциальных сигналов  $s_i(t)$ , соответствующих задержанным и взвешенным копиям  $s_i(t) = c_i s(t - \tau_i)$  в соответствии с моделью, и на их объединении в приемных устройствах [2,3]. При достаточно точном оценивании параметров сигналов  $s_i(t)$  (оценивание задержек  $\tau_i$  и начальных фаз  $\varphi_i$ , амплитуд  $c_i$ , доплеровских частот  $\Delta f_i$ ) возможно когерентное объединение. Более простым является некогерентное объединение, не требующее оценки начальных фаз  $\varphi_i$  [2].

В статье рассматриваются сигналы с расширенным спектром, формируемые путем сопоставления  $k$  информационным (кодовым) символам дискретных базисных функций Уолша-Адамара объемом  $2^k$  [7]. Коэффициент частотного расширения (база сигналов) при организации передачи с когерентным приемом равен  $\gamma = 2^k / k$ . При организации передачи с некогерентным приемом (ортогональность сигналов в усиленном смысле) коэффициент частотного расширения равен  $\gamma = 2^{k+1} / k$ .

Суть задачи - разработка вычислительных процедур посимвольного приема информационных (кодовых) символов для многолучевого канала с частотно-селективными замираниями путем объединения (когерентного и некогерентного) парциальных сигналов с расширенным частотным спектром на основе базисных функций Уолша-Адамара.

## 2. Алгоритмы посимвольного приема для однолучевого канала

Ниже приведены алгоритмы обработки сигналов с расширенным частотным спектром при их посимвольном приеме для однолучевого канала распространения. Эти алгоритмы являются основой вычислительных процедур посимвольного приема сигналов для многолучевых каналов.

Пусть  $\vec{A} = (a_i; 0 \leq i < k)$  - последовательность информационных символов ( $a_i = 0,1$ ), которой однозначно сопоставляется дискретный сигнал

$\vec{h}_A$  из ансамбля базисных функций Уолша-Адамара объемом  $2^k$  и длительностью  $n = 2^k$  ( $\vec{A}$  - двоичное представление номера функции). Этот ансамбль дискретных сигналов эквивалентен блоковому помехоустойчивому систематическому коду  $(2^k, k)$ , информационные символы расположены на позициях  $2^i, i = 0, 1, \dots, k - 1$ . Последовательности  $\vec{A}$  равновероятны, рассматривается АБГШ канал с односторонней спектральной плотностью  $N_0$ , передача осуществляется сигналами с двоичной фазовой манипуляцией.

Введем обозначения  $\vec{Y}_c = (y_{ic}; 0 \leq i < n)$ ,  $\vec{Y}_s = (y_{is}; 0 \leq i < n)$  - дискретные отсчеты для прямого и квадратурного каналов, соответствующие символам функции Уолша-Адамара  $\vec{h}_A$  с выхода сигнального демодулятора при условии идеальной тактовой синхронизации,

$$y_{ic} = \frac{DT_c}{2} h_{iA} \cos(\varphi) + n_{ic}, \quad (1)$$

$$y_{is} = \frac{DT_c}{2} h_{iA} \sin(\varphi) + n_{is}. \quad (2)$$

Здесь  $\varphi$  - начальная фаза сигналов;  $h_{iA} = \pm 1$  - символы переданного сигнала Уолша ( $i = 0, 1, \dots, n - 1$ );  $D$  - амплитуда сигналов;  $n_{ic}, n_{is}$  - помеховые составляющие, статистически независимые, с гауссовским законом распределения с нулевыми средними и с дисперсиями  $\sigma_0^2 = N_0 T_c / 4$ ;  $T_c$  - длительность символов сигналов Уолша.

Если фаза  $\varphi$  или ее оценка известны, то можно положить  $\varphi = 0$  и реализуется когерентный прием с использованием реализации  $\vec{Y}_c$ , для неизвестной фазы реализуется некогерентный прием с использованием реализаций  $\vec{Y}_c, \vec{Y}_s$ .

Процедуры приема “в целом” (когерентный и некогерентный), реализующие правило максимального правдоподобия, основаны на вычислении множества корреляционных соотношений [2]

$$R_{Id} = \sum_{i=0}^{n-1} y_{ic} h_{id}, \quad (3)$$

$$R_{Qd} = \sum_{i=0}^{n-1} y_{is} h_{id}. \quad (4)$$

Здесь  $h_{id}$  - символы функции Уолша-Адамара  $\vec{h}_d$  с номером  $d, 0 \leq d < n$ .

Функция Уолша-Адамара  $\vec{h}_m$ , для которой достигается максимум в множестве  $(R_{Id})$ , соответствует переданному дискретному сигналу для когерентного приема “в целом”. Функция Уолша-Адамара  $\vec{h}_m$ , для которой достигается максимум в множестве  $(l^2(d) = R_{Id}^2 + R_{Qd}^2)$ , соответствует переданному сигналу для некогерентного приема “в целом”.

При посимвольном приеме вычисляются “мягкие” решения  $\lambda_i$ , относительно символов  $h_i, 1 \leq i < n$  на основе реализаций  $\vec{Y}_c, \vec{Y}_s$  [5]

$$\lambda_i = \ln \left( \frac{\Pr(h_i = 1 | \vec{Y}_c, \vec{Y}_s)}{\Pr(h_i = -1 | \vec{Y}_c, \vec{Y}_s)} \right). \quad (5)$$

При условии  $\lambda_i \geq 0$  принимается решение  $h_i = 1$ , иначе  $h_i = -1$ .

Апостериорные вероятности  $\Pr(h_i = \pm 1 | \vec{Y}_c, \vec{Y}_s)$  имеют вид

$$\Pr(h_i = \pm 1 | \vec{Y}_c, \vec{Y}_s) = \sum_{\vec{h}_d: h_{di} = \pm 1} \frac{\Pr(\vec{h}_d) p(\vec{Y}_c, \vec{Y}_s | \vec{h}_d)}{p(\vec{Y}_c, \vec{Y}_s)}. \quad (6)$$

Для некогерентного приема обозначение  $p(\vec{Y}_c, \vec{Y}_s | \vec{h}_d)$  соответствует усредненной по  $\varphi$  условной плотности вероятности

$$p(\vec{Y}_c, \vec{Y}_s | \vec{h}_d) = \langle p(\vec{Y}_c(\varphi), \vec{Y}_s(\varphi) | \vec{h}_d) \rangle_{\varphi} = \frac{1}{2\pi} \int_0^{2\pi} p(\vec{Y}_c(\varphi), \vec{Y}_s(\varphi) | \vec{h}_d) d\varphi. \quad (7)$$

Для когерентного приема имеем

$$p(\vec{Y}_c, \vec{Y}_s | \vec{h}_d) = L_1 \exp \left( \frac{DT_c}{2\sigma_0^2} \sum_{i=0}^{n-1} y_{ic} h_{di} \right). \quad (8)$$

Для некогерентного приема после усреднения по  $\varphi$  имеем [11]

$$p(\vec{Y}_c, \vec{Y}_s | \vec{h}_d) = L_2 I_0 \left( \frac{DT_c}{2\sigma_0^2} l(d) \right). \quad (9)$$

Здесь  $I_0(x) = \frac{1}{2\pi} \int_0^{2\pi} \exp(x \cos(\varphi)) d\varphi$  - модифицированная функция Бесселя

первого рода 0-го порядка;  $L_1, L_2$  - множители, не зависящие от  $\vec{h}(d)$ .

Таким образом, процедура оценки апостериорных вероятностей  $\Pr(h_i | \vec{Y}_c, \vec{Y}_s)$  заключается в вычислении множества корреляций  $R_{Id}, R_{Qd}$  (3), (4), их нелинейном преобразовании (8) для когерентного приема и (9) для некогерентного приема и выполнении суммирования (6).

Вычисление  $R_I(\vec{h}), R_Q(\vec{h})$  выполняется с использованием алгоритма БПУ размерностью  $2^k$  с операциями “сложение-вычитание-пересылки”. Это повышает производительность обработки по отношению к прямому вычислению в  $2^k / k$  раз [11]. Соотношение (6) также может быть вычислено с использованием алгоритма БПУ размерностью  $2^k$  над сигналами (8) или (9) для когерентного или некогерентного посимвольного приема [11]

$$C(h_i) = \Pr(h_i = 1 | \vec{Y}_c, \vec{Y}_s) - \Pr(h_i = -1 | \vec{Y}_c, \vec{Y}_s) = \frac{\sum_{j=0}^{n-1} p(\vec{Y}_c, \vec{Y}_s | \vec{h}_i) h_{ij}}{\Pr(\vec{Y}_c, \vec{Y}_s | \vec{h}_i)}. \quad (10)$$

Числитель и знаменатель (10) являются компонентами спектрального преобразования в базисе Уолша-Адамара. Используя тождество  $\Pr(h_i = 1 | \vec{Y}_c, \vec{Y}_s) + \Pr(h_i = -1 | \vec{Y}_c, \vec{Y}_s) = 1$ , имеем результирующее выражение

$$\lambda_i = \ln \left( \frac{1 + C(h_i)}{1 - C(h_i)} \right). \quad (11)$$

Более простой метод вычисления мягких решений  $\vec{\lambda}$ , не требующий вычисления функций экспоненциального вида, основан на применении приближенного соотношения [5]

$$\lambda_i \cong \ln \left( \max_{\vec{h}_d: h_{di}=1} (p(\vec{Y}_c, \vec{Y}_s | \vec{h}_d)) \right) - \ln \left( \max_{\vec{h}_d: h_{di}=-1} (p(\vec{Y}_c, \vec{Y}_s | \vec{h}_d)) \right). \quad (12)$$

В частности, для некогерентного посимвольного приема имеем

$$\lambda_i \cong \max_{\vec{h}_d: h_{di}=1} (l(d)) - \max_{\vec{h}_d: h_{di}=-1} (l(d)). \quad (13)$$

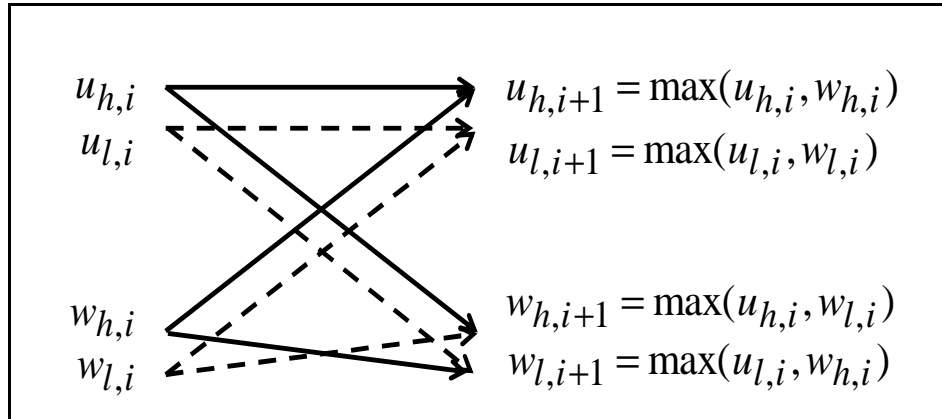


Рис.1. Схематическое изображение элемента (парная “бабочка”) модифицированного алгоритма БПУ с базовыми операциями “сравнение-пересылки”.

При вычислении (12), (13) применяется модифицированный алгоритм БПУ размерностью  $2^k$  с операциями “сравнение-пересылки” [6]. На рис.1 приведен вид элемента модифицированного БПУ - “бабочки”  $i$ -го слоя ( $0 \leq i < k$ ): выходные парные отсчеты  $u_{h,i+1}(t), u_{l,i+1}(t)$  и  $w_{h,i+1}(t), w_{l,i+1}(t)$ , являющиеся входными для  $(i + 1)$ -го слоя, вычисляются по правилам

$$u_{h,i+1}(t) = \max(u_{h,i}(t), w_{h,i}(t)), \quad u_{l,i+1}(t) = \max(u_{l,i}(t), w_{l,i}(t)),$$

$$w_{h,i+1}(t) = \max(u_{h,i}(t), w_{l,i}(t)), \quad w_{l,i+1}(t) = \max(u_{l,i}(t), w_{h,i}(t)).$$

Здесь  $u_{h,i}(t), u_{l,i}(t)$  и  $w_{h,i}(t), w_{l,i}(t)$  парные отсчеты на входе  $i$ -го слоя,  $t = 0, 1, \dots, 2^{k-1} - 1$ . На первом слое отсчеты равны  $u_{h,0}(t) = \ln(p(\vec{Y}_c, \vec{Y}_s | \vec{h}_t))$ ,  $w_{h,0}(t) = \ln(p(\vec{Y}_c, \vec{Y}_s | \vec{h}_t))$ ,  $u_{l,0}(t) = w_{l,0}(t) = 0$ , для некогерентного приема имеем  $u_{h,0}(t) = l(t)$ ,  $w_{h,0}(t) = l(t)$ . На последнем  $k$ -ом слое определяются значения  $\lambda_i$  с использованием соотношений (12), (13).



На рис.2 приведен граф модифицированного БПУ размерностью  $2^2$ .

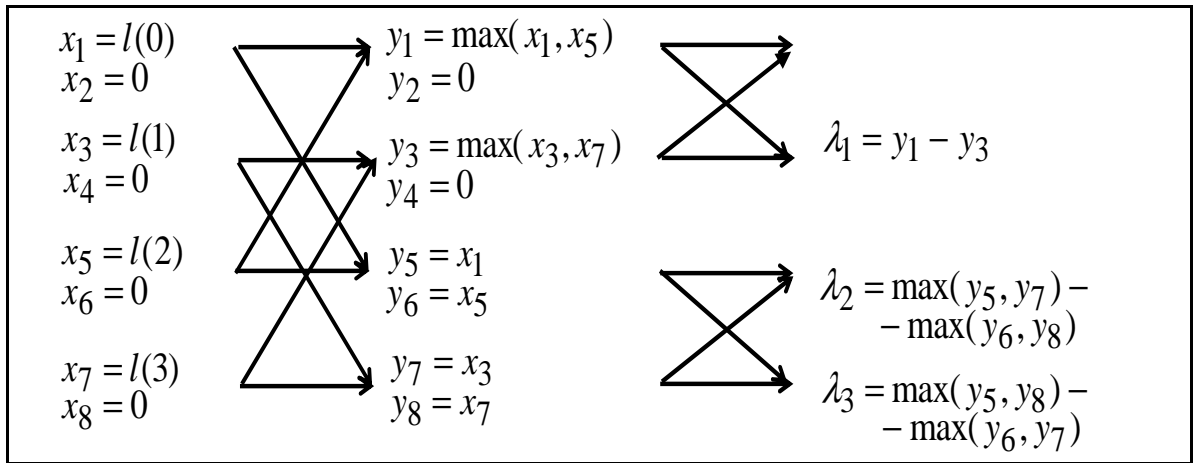


Рис.2. Результирующий граф модифицированного алгоритма БПУ размерностью 4 с базовыми операциями “сравнение-пересылки”.

### 3. Алгоритмы посимвольного приема для каналов с многолучевостью

Для многолучевых каналов с  $j$  парциальными лучами распространения сигналов с расширенным частотным спектром рассматривается совокупность  $2j$  реализаций с выходов демодуляторов прямого и квадратурного каналов  $(\vec{Y}_{c1}(\varphi_1), \vec{Y}_{s1}(\varphi_1), \dots, \vec{Y}_{cj}(\varphi_j), \vec{Y}_{sj}(\varphi_j))$ .

Функция правдоподобия  $p(\vec{Y}_{c1}, \vec{Y}_{s1}, \dots, \vec{Y}_{cj}, \vec{Y}_{sj} | h_d)$  для когерентного приема имеет вид

$$p(\vec{Y}_{c1}, \vec{Y}_{s1}, \dots, \vec{Y}_{cj}, \vec{Y}_{sj} | \vec{h}_d) = L_1 \prod_{p=1}^j \left( \exp \left( \frac{D_p T_c}{2\sigma_{p0}^2} \sum_{i=0}^{n-1} y_{cpi} h_i \right) \right). \quad (14)$$

Для некогерентного приема после усреднения по  $\varphi$  имеем [11]

$$p(\vec{Y}_{c1}, \vec{Y}_{s1}, \dots, \vec{Y}_{cj}, \vec{Y}_{sj} | \vec{h}_d) = L_2 \prod_{p=1}^j I_0 \left( \frac{D_p T_c}{2\sigma_{p0}^2} l_p(d) \right). \quad (15)$$

Здесь  $L_1, L_2$  - множители, не зависящие от  $\vec{h}(d)$ ;  $D_p, \sigma_{p0}^2$  - амплитуда сигнальной составляющей и мощность помеховой составляющей для парциального луча  $p$ ; значения  $l_p(d)$  вычисляются для парциальных лучей с

использованием корреляционных соотношений (3), (4).

Апостериорные вероятности  $\Pr(h_i = \pm 1 | \vec{Y}_{c1}, \vec{Y}_{s1}, \dots, \vec{Y}_{cj}, \vec{Y}_{sj})$  вычисляются на основе (14), (15) и соотношения, подобного соотношению (10)

$$C(h_i) = \frac{\sum_{l=0}^{n-1} \left( \prod_{p=1}^j p(\vec{Y}_{c1}, \vec{Y}_{s1}, \dots, \vec{Y}_{cj}, \vec{Y}_{sj} | \vec{h}_i) \right) h_{il}}{\prod_{p=1}^j \Pr(\vec{Y}_{c1}, \vec{Y}_{s1}, \dots, \vec{Y}_{cj}, \vec{Y}_{sj} | \vec{h}_i)}. \quad (16)$$

Вычисление “мягких” решений  $\lambda_i$  с использованием значений  $C(h_i)$  (16) осуществляется с использованием соотношения (11).

Более простой метод вычисления “мягких” решений основан на применении приведенного приближенного соотношения (12)

$$\lambda_i \cong \ln \left( \frac{\max_{\vec{h}_d : h_{di}=1} \left( p(\vec{Y}_{c1}, \vec{Y}_{s1}, \dots, \vec{Y}_{cj}, \vec{Y}_{sj} | \vec{h}_d) \right)}{\max_{\vec{h}_d : h_{di}=-1} \left( p(\vec{Y}_{c1}, \vec{Y}_{s1}, \dots, \vec{Y}_{cj}, \vec{Y}_{sj} | \vec{h}_d) \right)} \right). \quad (17)$$

В частности, для некогерентного посимвольного приема имеем

$$\lambda_i \cong \max_{\vec{h}_d : h_{di}=1} \left( \sum_{p=1}^j \frac{D_p T_c}{2\sigma_{p0}^2} l_p(d) \right) - \max_{\vec{h}_d : h_{di}=-1} \left( \sum_{p=1}^j \frac{D_p T_c}{2\sigma_{p0}^2} l_p(d) \right). \quad (18)$$

При вычислении (17), (18) может быть применен приведенный модифицированный алгоритм БПУ размерностью  $2^k$  с операциями “сравнение-пересылки”.

Для вычисления значений  $\lambda_i$  с использованием (16), (17), (18) необходимо знание параметров  $\frac{D_p T_c}{\sigma_{p0}^2} = \frac{2D_p}{N_0}$  для парциальных лучей.

Оценку данного отношения можно произвести с использованием методики, приведенной в [11]. Обозначим значение  $m$ , определяемое условием

$l_p(\vec{h}_m) = \max_i (l_p(\vec{h}_i))$ , выражения для  $\frac{D_p T_c}{2}$  и  $\sigma_{p0}^2$  имеют вид

$$\frac{D_p T_c}{2} = \sqrt{\frac{nl_p^2(\vec{h}_m) - \sum_{i=0}^{n-1} l_p^2(\vec{h}_i)}{n^2(n-1)}}. \quad (19)$$

$$\sigma_{p0}^2 = \frac{\sum_{i=0, i \neq m}^{n-1} l_p^2(\vec{h}_i)}{2n(n-1)}. \quad (20)$$

#### 4. Результаты вычислений

На рис.3 приведены вероятностные характеристики (вероятности ошибки на бит  $P_b$ ) когерентного и некогерентного приема ортогональных сигналов объемом  $n=16$  (число информационных битов  $k=4$ ) для однолучевого канала АБГШ в зависимости от отношения сигнал/помеха  $\frac{E_b}{N_0}$ .

Здесь  $E_b$  - энергия сигналов на информационный бит.

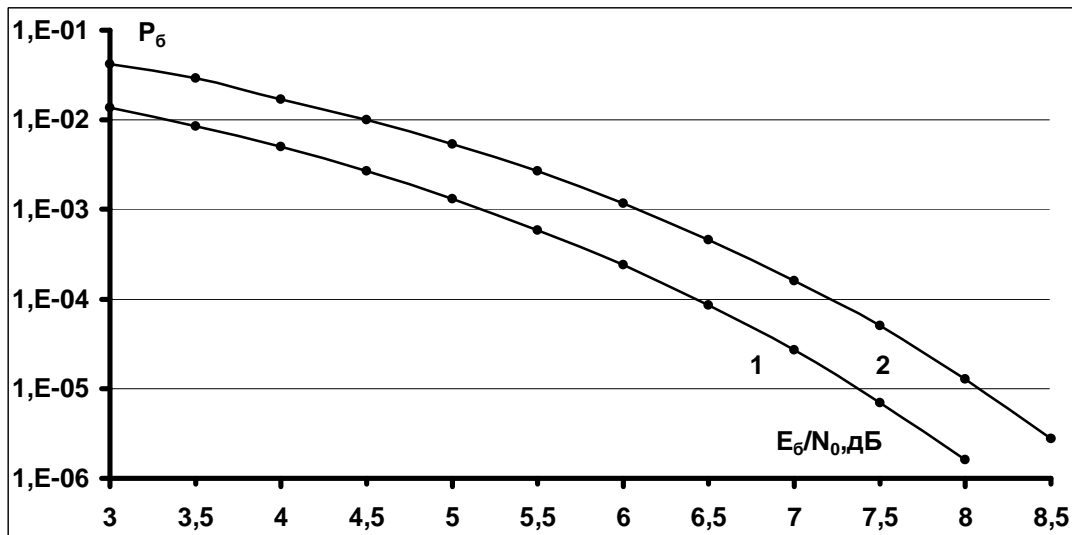


Рис.3. Вероятности ошибки на бит  $P_b$  приема ортогональных сигналов объемом  $n=16$  для однолучевого канала АБГШ: 1 – когерентный прием; 2 – некогерентный прием.

Кривая 1 соответствует когерентному приему “в целом”, в этом случае известно аналитическое выражение для  $P_b$  [1]

$$P_{\bar{6}} = \frac{n}{2(n-1)} \left( 1 - \frac{1}{\sqrt{2\pi}} \int_{-\infty}^{\infty} \exp\left(-\frac{x^2}{2}\right) \left(1 - F\left(x + \sqrt{2E_{\bar{6}}k/N_0}\right)\right)^{n-1} dx \right). \quad (21)$$

Здесь  $F(x) = \frac{1}{\sqrt{2\pi}} \int_{-\infty}^x \exp(-x^2/2) dx$ .

Кривая 2 соответствует некогерентному приему “в целом”, в этом случае также известно аналитическое выражение для  $P_{\bar{6}}$  [2]

$$P_{\bar{6}} = \frac{\exp(-E_{\bar{6}}k/N_0)}{2(n-1)} \sum_{j=2}^n (-1)^j C_n^j \exp(E_{\bar{6}}k/jN_0). \quad (22)$$

Видно, что для значения  $P_{\bar{6}} = 10^{-5}$  энергетический проигрыш для некогерентного приема относительно когерентного приема достигает 1 дБ.

Вероятностные кривые для оптимального посимвольного приема рассматриваемого ансамбля сигналов получены путем компьютерного моделирования с использованием соотношений (6), (8) (когерентный посимвольный прием) и (9) (некогерентный посимвольный прием). Полученные вероятностные кривые незначительно отличаются от вероятностных кривых приема “в целом”, приведенных на рис.1. Так для когерентного приема “в целом” при  $\frac{E_{\bar{6}}}{N_0} = 6$  дБ имеем  $P_{\bar{6}} = 2.4 \cdot 10^{-4}$ , для оптимального посимвольного приема имеем  $P_{\bar{6}} = 2.2 \cdot 10^{-4}$ .

Моделирование алгоритмов оптимального и подоптимального посимвольного приема с использованием соотношений (17), (18) показало их эквивалентность относительно вероятностей ошибки  $P_{\bar{6}} = 2.2 \cdot 10^{-4}$ .

На рис.4 приведены вероятностные характеристики когерентного и некогерентного посимвольного приема рассматриваемых ортогональных сигналов объемом  $n=16$  для двухлучевого канала АБГШ. Вероятностные кривые получены путем компьютерного моделирования алгоритмов посимвольного приема при условии равенства отношений сигнал/помеха для парциальных лучей.

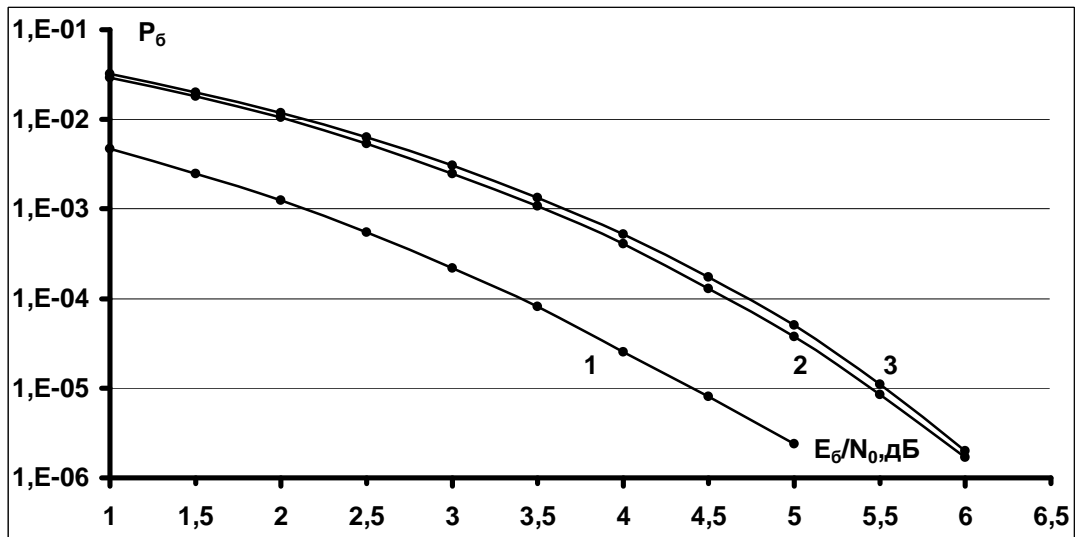


Рис.4. Вероятностные характеристики когерентного и некогерентного посимвольного приема ортогональных сигналов объемом  $n = 16$  (число информационных битов  $k = 4$ ) для двухлучевого канала АБГШ: 1 – оптимальный когерентный посимвольный прием; 2 – оптимальный некогерентный посимвольный прием; 3 – подоптимальный некогерентный посимвольный прием.

Кривая 1 соответствует оптимальному когерентному посимвольному приему с использованием соотношений (6), (14). Кривая 2 соответствует оптимальному некогерентному посимвольному приему с использованием соотношений (6), (15). Видно, что для значения  $P_6 = 10^{-5}$  энергетический проигрыш для некогерентного посимвольного приема относительно когерентного посимвольного приема достигает 1 дБ.

Моделирование показало, что вероятностные кривые для алгоритмов подоптимального посимвольного приема с использованием соотношения (12) незначительно отличаются от соответствующих приведенных вероятностных кривых оптимального посимвольного приема. Так для когерентного

оптимального приема при  $\frac{E_6}{N_0} = 4$  дБ имеем  $P_6 = 2.55 \cdot 10^{-4}$ , для

подоптимального когерентного посимвольного приема имеем  $P_6 = 2.65 \cdot 10^{-4}$ .

Кривая 3 соответствует подоптимальному некогерентному

посимвольному приему с оценкой энергетических параметров  $\frac{D_p T_c}{2\sigma_{p0}^2}$ ,  $p = 1, 2$ ,

вычисляемых с использованием соотношений (19), (20) для лучей. Видно, что полученная кривая незначительно отличается от вероятностной кривой 2 для оптимального некогерентного посимвольного приема - энергетические потери не превышают 0.1 дБ.

### **Заключение**

Приведены алгоритмы посимвольного когерентного и некогерентного приема сигналов с расширенным частотным спектром в виде ортогональных базисных функций Уолша-Адамара, используемых для передачи информации по многолучевым каналам с частотно-селективными замираниями. Приведенные алгоритмы реализуют оптимальный и подоптимальный (более простой относительно сложности реализации) посимвольный прием.

Даны результаты компьютерного моделирования разработанных алгоритмов посимвольного приема для однолучевого и двухлучевого канала АБГШ. Показано, что вероятностные кривые подоптимального посимвольного приема незначительно отличаются от соответствующих вероятностных кривых для оптимального посимвольного приема - отличия не превышают 0.1 дБ.

Разработка методов теоретического оценивания вероятностных характеристик посимвольного приема ансамблей сигналов составляет направление перспективных исследований.

Работа выполнена при поддержке РФФИ (№16-07-00746).

### **Литература**

1. Зюко А.Г., Фалько А.И., Панфилов И.П., Банкет В.Л., Иващенко П.В. Помехоустойчивость и эффективность систем передачи информации. М.: Радио и связь. 1985.
2. Финк Л.М. Теория передачи дискретных сообщений. М.: Сов.радио. 1970.

3. Скляр Б. Цифровая связь. Теоретические основы и практическое применение. Перевод с англ. М.: Издательский дом “Вильямс”. 2003.
4. Феер К. Беспроводная цифровая связь. Методы модуляции и расширение спектра. Перевод с англ. под редакцией В.И.Журавлева. М.: Радио и связь. 2000.
5. Морелос-Сарагоса Р. Искусство помехоустойчивого кодирования. Методы, алгоритмы, применение. Перевод с англ. М.: Техносфера. 2005.
6. Назаров Л.Е., Головкин И.В. Последовательные турбо-коды с пониженной сложностью алгоритмов приема. // Радиотехника и электроника. 2010. Т. 55. №10. стр. 1193-1199.
7. Трахтман А.М., Трахтман В.А. Основы дискретных сигналов на конечных интервалах. М.: Советское радио. 1975.
8. Немировский А.С. Борьба с замираниями при передаче аналоговых сигналов. М.: Радио и связь. 1984.
9. Сорочинский М.В., Кузнецов О.О., Назаров Л.Е. Некоторые модели каналов передачи сигналов и экспериментальное определение их параметров. // Электронная техника. Выпуск 2(482). 2003. С.119-124.
10. Волков Л.Н., Немировский М.С., Шинаков Ю.С. Системы цифровой радиосвязи. Базовые методы и характеристики. М.: Экотрендз. 2005.
11. Назаров Л.Е. Некогерентный посимвольный прием сигналов, соответствующих двоичным блоковым кодам. // Радиотехника и электроника. 2003. Т.48. N7. С.818-823.